

UDC 621.438-4:

536.2

航空宇宙技術研究所資料

TECHNICAL MEMORANDUM OF NATIONAL AEROSPACE LABORATORY

TM-189

燃料蒸発管に関する研究(Ⅲ)

—管内の燃料-空気二相流への熱伝達—

田丸 卓・乙幡安雄・鈴木邦男

1970年12月

航空宇宙技術研究所
NATIONAL AEROSPACE LABORATORY

既 刊 資 料

TM-155	極超音速風胴 M7 ノズル較正試験	1969年2月	橋本登, 吉沢昭 穂積弘一
TM-156	自動制御系の動特性を計数型電子計算機により模擬するための汎用プログラム	1969年3月	戸川隼人, 丸山治雄
TM-157	機上用超小形エンコーダの研究	1969年3月	中正夫, 山本芳樹 大石晃
TM-159	可動アイアンバードによる姿勢制御の実験	1969年5月	西村博史, 藤枝郭俊
TM-160	極超音速風胴計測装置について	1969年7月	長洲秀夫, 吉沢昭 松崎貴至
TM-161	燃料蒸発管に関する研究(II) —加熱蒸発管の燃料未蒸発分捕集—	1969年8月	鈴木邦男, 田丸卓 乙幡安雄
TM-162	境界層内圧力変動および板の振動変位の測定(I)	1969年9月	藤森義典, 山崎浩
TM-163	ある双発プロペラ STOL 機の動安定風胴試験	1969年9月	別府謙郎, 鈴木友昭
TM-164	ブレードのフランピング運動をバネで拘束したロータのピッチダンピングについて	1969年10月	別府謙郎, 岡遠一
TM-165	フェノール系複合材の環境試験結果	1969年11月	古田敏康, 野口義男
TM-166	ガスターイン用缶形燃焼器における燃焼領域のガス組成と燃焼状態	1969年11月	大塚貞吉, 斎藤隆 堀内正司, 本間幸吉 宮坂彰
TM-167	YS-11 A-300型輸送機の胴体疲労試験 —中部胴体前方大型貨物口部および後方乗降口部付近—	1970年1月	竹内和之, 川島矩郎 熊倉郁夫, 松岡陽一
TM-168	タンピングメータの試作	1970年2月	柳沢三憲
TM-169	ジェットエンジン燃焼器出口ガス流の乱れの測定(I)	1970年2月	相波哲朗
TM-170	JR-エンジンの燃焼器におきた振動燃焼	1970年2月	鈴木邦男, 石井浅五郎 山中国雍
TM-171	缶形燃焼器(低圧, 低温系)試験設備による航空計器の氷結(着氷)試験	1970年3月	鈴木邦男, 相波哲朗 本間幸吉, 服部宣夫
TM-172	自動追尾型風向風速測定器	1970年3月	川幡長勝, 中谷輝臣
TM-173	FA-200 改機の動安定微係数	1970年3月	遠藤浩, 林良生 海老沼幸成, 中谷輝臣
TM-174	遷音速風胴動安定測定装置の構造と作動	1970年4月	小橋安次郎, 河野長正 西武徳, 宮沢政文
TM-175	NAL-16・31D型ロケットの研究試作	1970年5月	五代富文, 近藤洋史 中井暎一, 田畠淨治
TM-176	非対称自由流線の一計算法	1970年5月	高橋伸
TM-177	小型固体ロケットモータの振動燃焼実験 —パルス法による中周波振動燃焼の研究—	1970年5月	五代富文, 伊藤克弥 西村久男, 湯沢克宜 柴藤羊二
TM-178	大型低速風胴動安定微係数測定装置	1970年5月	広岡貫一, 遠藤浩 戸田亘洋, 岡部祐二郎
TM-179	風胴天秤の試作	1970年5月	金成正好, 北出大三
TM-180	ジェットエンジン燃焼出口ガス流の乱れの測定(II) —レーザのドップラ効果を利用する方法—	1970年5月	相波哲朗
TM-181	航空機の乗り心地について	1970年6月	幸尾治朗

燃料蒸発管に関する研究(III)*

—管内の燃料・空気二相流への熱伝達—

田丸 卓**・乙幡安雄**・鈴木邦男**

A Study on a Fuel Vaporizer (III) Measurements of Heat Transfer Rate in a Tube

By Takasi TAMARU, Yasuo OPPATA and Kunio SUZUKI

In connection with a study on a fuel vaporizer for a gas turbine combustion chamber, the heat transfer coefficient in a short straight tube through which a fuel-air mixture flowed was investigated experimentally.

Liquid isoctane was fed into an air stream in a tube, which was 16 mm in diameter and 400 mm in length, and the heat transfer coefficient was calculated according to the enthalpy difference between inlet- and outlet-flow of the tube.

There is a maximum value of heat transfer rate when the wall temperature is about the maximum boiling rate point⁶⁾ of the fuel. The peak is, however, gradually dissipated as the air flow rate is increased.

When the temperature of the tube is high enough, the heat transfer rate is constant and depends only upon the velocity of the air stream in the tube.

It was shown that when liquid fuel drops were suspended in the air stream, the heat transfer rate of the tube at high wall temperature could be assumed to be nearly equal to that of the fuel vapor flowing at the same Reynolds number as the air stream in the tube.

記 号

C_{pa} : 空気の定圧比熱 (kcal/kg°C)

C_{pl} : 燃料(液体)の定圧比熱 (kcal/kg°C)

C_{pv} : 燃料(蒸気)の定圧比熱 (kcal/kg°C)

D : 供試蒸発管内径 (m)

H_a : 蒸発管内気流のエンタルピ

H_d : 気流液滴のエンタルピ

H_f : 供給燃料のエンタルピ

H_v : 気化した燃料のもつエンタルピ

H_w : 管壁流のエンタルピ

L : 供試蒸発管長さ (m)

r : 燃料の蒸発潜熱 (kcal/kg)

R : 供給燃料量にたいする割合

t : 温度 (°C)

T_1 : 蒸発管入口空気温度 (°K)

T_2 : 蒸発管出口混合気温度 (°K)

T_s : (= T_d) 気流液滴温度 (°K)

T_4 : (= T_i) 管壁流温度 (°K)

T_5 : 管壁温度 (°K)

T_6 : "

T_7 : "

T_8 : "

T_b : 管内流体平均温度 (°K)

T_f : 供給燃料温度 (°K)

T_w : 管壁平均温度 (°K)

U_a : 管内気流平均速度 (m/s)

w_a : 供給空気量 (g/s, または kg/s)

w_f : 供給燃料量 (g/s, または kg/s)

w_{fd} : 気流液滴捕集量 (g/s, または kg/s)

w_{fw} : 管壁流捕集量 (g/s, または kg/s)

w_{fv} : 蒸発燃料量 (g/s, または kg/s)

α : 平均熱伝達率 (kcal/m²h°C)

α_L : 速度助走区間内 L までの平均熱伝達率

(kcal/m²h°C)

λ : 熱伝導率 (kcal/mh°C)

* 昭和45年8月21日受付

** 原動機部

τ : 時間 (hour)

添字

1: 入口

2: 出口

c: 捕集量

v: 蒸発量

1. まえがき

ガスタービン用蒸発形燃焼器に使われている燃料蒸発管の特性について、蒸発管の単純化モデルを使って実験的考察をおこなっている¹⁾²⁾。

前報³⁾では、管内気流に燃料としてイソオクタンを供給して、蒸発特性につき管内風速、空燃比、管壁温度などの影響を調べた。

本報告はその実験のさいのデータをもとに管内平均熱伝達率を計算したものである。

普通、管内を流れる単相流の場合は、熱伝達率は単純にレイノルズ数やプラントル数などの函数として定まる。

しかるに二相流の場合には管内液相の状態によって非常に異なった値や急激な変化がおきる。このような状態のもとで熱伝達率がどのような値をとるかは非常に複雑であり明らかにされていない。

実際の燃焼器の設計のさいにも、蒸発管部分の熱伝達率をどのように見積ったらよいか問題である。

今回の考察の結果、熱伝達率とそれにたいする管壁温度、管内風速、空燃比などの影響が明らかとなり、蒸発管の使用状態とみなされる管壁温度の高い場合とするべき熱伝達率の値を推算できることがわかった。

それによると高温時の蒸発管内熱伝達率は一般に気体が流れた場合と全く同じオーダーの値である。

したがって固体面に接触することによる熱伝達の向上から燃料液体の蒸発促進を期待することはむずかしいことが明らかになった。

一般に、管内の熱伝達率を知る実験方法にはいくつあるが、そのうちおもなものは

(1) 管壁内の温度勾配を測定し、管壁を通過する熱流束から求める。

(2) 管壁を加熱した熱量から求める。

(3) 管の入口と出口で二相流のもつエンタルピ差から求める。

などである。

ここでは(3)の方法を採用したが、その理由を次に述べる。

本実験のように短い管内で二相流への熱伝達の測定

をおこなおうとすると、(1), (2)はそれぞれつぎのような欠点がある。

(1) の場合、管壁内半径方向の温度勾配を知らなければならぬ。ところがつぎのような原因から一般に管壁温度は三次元的に複雑な分布を示す。

(a) 気流により液体燃料が微粒化され、その蒸発のため管内は局所的に温度が低下する。

(b) 重力、そのほかの作用によって管内面のある一部分をつたって流れる管壁流が壁面を局部的に冷却する。

(c) 蒸発管が短いため加熱用ヒーターの軸方向均一加熱が難かしい。ことに端末での熱損失が大きい。

(d) ドライアウト現象が発生し、局所熱伝達率が桁違いの変化をする。

このような原因から、蒸発管内の状況によって管壁温度分布の様相が局所的に、時間的に著しく変化する。それらの場合の局所温度を正確に測定することは技術的に困難である。また、それに応じた熱流束を精度よく求めることもきわめて煩雑な労力を要する。

(2) の方法では、管内の二相流に与える熱量が大きいので、かなり大容量の蒸発管加熱装置を必要とする。そのため、加熱熱量の精度よい制御と測定をおこなうことが装置製作上からむずかしい。

ことにドライアウト現象のような必要加熱量の急激な変動に即応、対応することが困難である。

また、供試管が軸方向に十分な長さをもたないため二相流へ伝達される熱量のわりに管端面での熱伝導損失とヒーターの加熱損失が大きく、正確な実験値を期待できない。

この方法の最大の欠点は、管内の状態と管外の加熱量が定常な平衡状態に達するのに非常に長時間を要することである。その間にドライアウト現象が起きると急激に管壁温度が上昇し、事実上実験点のとれない管壁温度範囲が広くでてくる。

いっぽう、(3)の方法では、各状態量の測定が正確にできること、各物性値がわかっていること、などが必要である。

幸い、本実験に使用したイソオクタンは物性値が詳しく知られている³⁾。

また管の入口、出口での各状態量も前報³⁾のような方法で測定できた。

したがって、測定誤差の原因となる、

(a) ジュビワンの口から逆流する気流中に浮遊して捕集損失となる液滴量

(b) ジュワピン内、および管壁流捕集スリット内で

蒸発する量

- (c) 気流中の液滴が熱電対へ付着することによって影響を受ける出口温度測定の誤差

などが大きくなる限り、正しい熱伝達率が期待できる。実験範囲によっては上記のいずれかが無視できない場合もあるが、実験条件の変化による傾向の推移を考察、また関連研究を参考とすることによって正しい値を推測することができた。

2. 実験および測定値

実験装置および実験方法の詳細は前報²⁾に述べたので省略する。

しかし今回の実験値計算において、温度計測部位が重要なので、供試蒸発管モデル（以後、単に蒸発管という）を図1に再掲し、各計測値の測定位置を示す。

計測した温度は次のようにある。

- T_f : 蒸発管内に供給した燃料の温度
- T_1 : 蒸発管入口での空気温度
- T_2 : 蒸発管出口での混合気温度
- T_3 : 気流液滴温度（ジュワビン内壁へ衝突し、流出してくる燃料液流の温度）
- T_4 : 管壁流温度（蒸発管出口スリットにより捕集された燃料液体の温度）
- $T_5 \sim T_8$: 蒸発管管壁温度

なお、温度 T_2 はジュワビン内部の温度を測定したが、これは前報²⁾にも述べたように管内の主流と境界層流の混合温度とみなすことができる。

計算に使用した管壁温度 T_w は、図1に示す熱電対 $T_5 \sim T_8$ の測定値を算術平均したものである。

以後、特にことわりのない限り、管壁温度とはこの平均管壁温度をさすものとする。

計測し得た諸値を付録Aに示す。

3. 热伝達率の計算

管壁を加熱している蒸発管内に空気と液体燃料を供給した場合の管内平均熱伝達率の計算は次のようにおこなった。

まず、蒸発管入口で、供給した燃料および空気の重量をそれぞれ $w_f(\text{kg/s})$, $w_a(\text{kg/s})$ とすると、それらのエンタルピは、

$$H_{f1} = (C_{pl})_{Tf} w_f (T_f - T_0) \quad (1)$$

$$H_{a1} = (C_{pa})_{T1} w_a (T_1 - T_0) \quad (2)$$

である。ここで、 $(C_{pl})_{Tf}$, $(C_{pa})_{T1}$ はそれぞれ燃料（液体）、空気の基準温度 T_0 から温度 T_f , T_1 までの平均比熱を表わす。 T_0 は 0°C とした。

したがって

$$(C_{pl})_{Tf} = \frac{\int_{T_0}^{T_f} C_{pl} dT}{T_f - T_0} = \frac{\int_0^{t_f} C_{pl} dt}{t_f} \quad (3)$$

ここでイソオクタン比熱は次のような温度の函数とした。

$$C_{pl} = 0.000726 t_f + 0.482 \quad (4)$$

なお、この直線近似は、イソオクタン液体が 0°C から 90°C の間で文献³⁾によるものと 1% 以内の誤差で一致する。図2にその関係を示す。

空気の比熱は処理するデータの温度範囲が常温からせいぜい 50°C ていどなので一定とみなし、 0.24 kcal/kg°C とした。

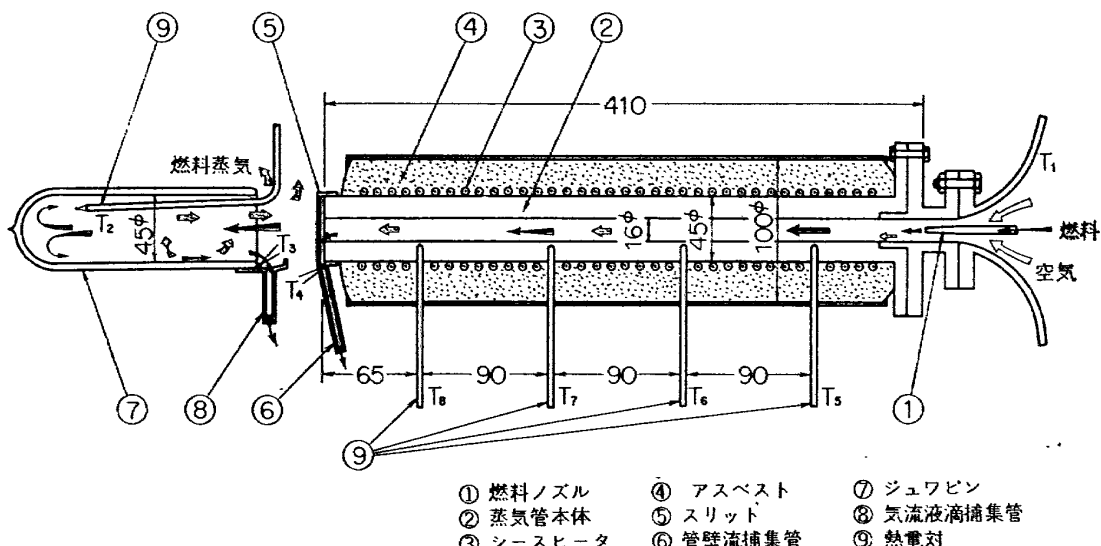


図1 蒸発管熱伝達率測定装置

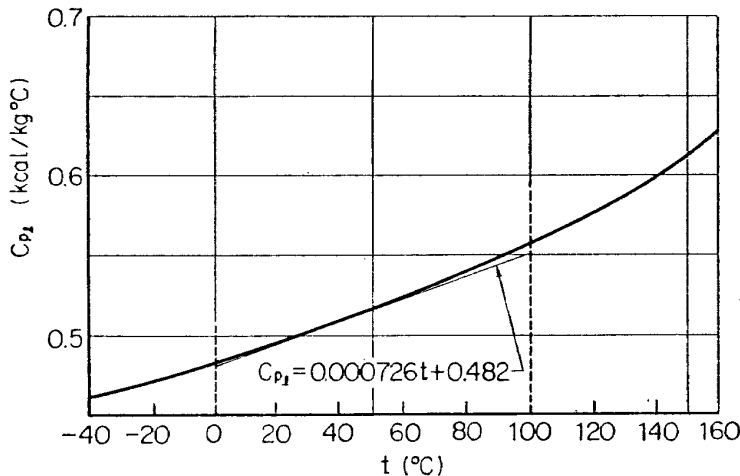


図 2 イソオクタン液体の比熱と直線近似

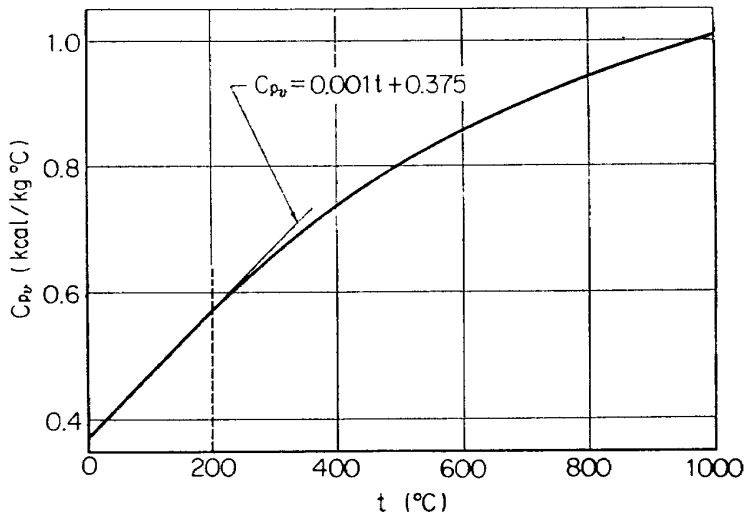


図 3 イソオクタン蒸気の定圧比熱と直線近似

蒸発管の出口では、燃料の一部が管壁流と気流液滴として液体の状態で捕集される。

それらのもつエンタルピは、それぞれ、

$$H_w = (C_{pl})_{Tf} w_{fw} (T_f - T_0) \quad (5)$$

$$H_d = (C_{pl})_{Td} w_{fd} (T_d - T_0) \quad (6)$$

である。

ここで管壁温度 \$T_f\$、気流液滴温度 \$T_d\$ はそれぞれ図 1 の \$T_4, T_3\$ の位置で測定した温度である。

また、供給した燃料のうち管壁流と気流液滴として捕集された以外は、蒸発気化したものと考えると、その量は、

$$w_{fv} = w_f - (w_{fd} + w_{fw}) \quad (7)$$

となる。

蒸発管の入口で \$T_f\$ の温度であった燃料が管内で熱を受け、管内流体平均温度、

$$T_b = \frac{T_1 + T_2}{2} \quad (8)$$

で蒸発し、これがさらに加熱されて、出口で \$T_2\$ の温度になって噴出するものと考えると、その過程で次のエンタルピ増加がある。

$$H_v = (C_{pl})_{\overline{TfTb}} w_{fv} (T_b - T_f) + r_{Tb} w_{fv} + (C_{pv})_{\overline{TbT2}} w_{fv} (T_2 - T_b) \quad (9)$$

ここに、\$(C_{pl})_{\overline{TfTb}}\$ はイソオクタン液体の温度 \$T_f\$ と \$T_b\$ 間の平均比熱で、次の値を示す。

$$(C_{pl})_{\overline{TfTb}} = \frac{(C_{pl})_{Tf} + (C_{pl})_{Tb}}{2} \quad (10)$$

$(C_{pv})_{\overline{TbT2}}$ も同様に、

$$(C_{pv})_{\overline{TbT2}} = \frac{(C_{pv})_{Tb} + (C_{pv})_{T2}}{2} \quad (11)$$

である。

ここで、イソオクタン蒸気の定圧比熱 \$C_{pv}\$ は

$$C_{pv} = 0.001t + 0.375 \quad (12)$$

で近似した。文献 3) による値との比較を図 3 に示す。

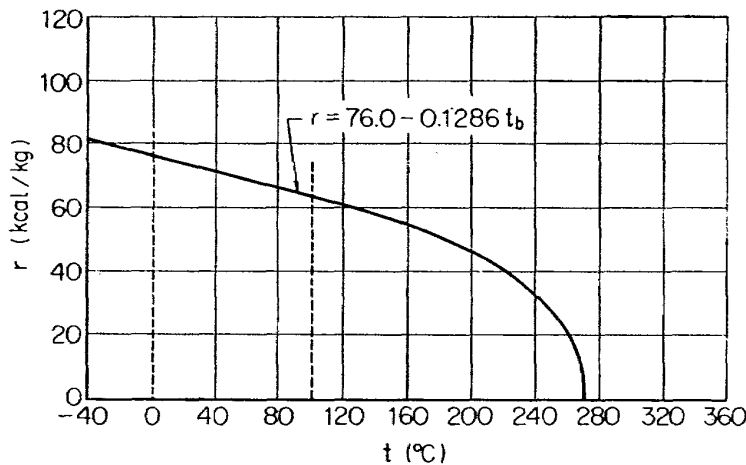


図 4 イソオクタンの蒸発潜熱と直線近似

また、 r_{Tb} はイソオクタンの温度 T_b での蒸発潜熱を示し次式で近似した。

$$r = 76.0 - 0.1286 \cdot t_b \quad (13)$$

図 4 に文献 3) の値との比較を示す。

出口温度 T_2 の混合気となった空気のもつエンタルピは、

$$H_{a2} = (C_{pa})_{T_2} w_a (T_2 - T_0) \quad (14)$$

である。

蒸発管の有効加熱長さ L を、平均熱伝達率を α とすると、(1) から (14) までの諸式から、

$$\begin{aligned} \alpha \pi D L (T_w - T_b) &= \{(H_{a2} + H_v + H_d + H_w) \\ &\quad - (H_{a1} + H_{f1})\} \times 3600 \end{aligned} \quad (15)$$

となる。

したがって、平均熱伝達率は、

$$\alpha = \frac{3600 \{(H_{a2} + H_v + H_d + H_w) - (H_{a1} + H_{f1})\}}{\pi D L (T_w - T_b)} \quad (16)$$

として求まる。

4. 結果とその考察

各実験値と、それらを使って式 (16) により計算した熱伝達率の値を付録 A と図 5 から図 10 に示す。

管壁温度の低い場合と高い場合とでは、管内の燃料にたいする熱伝達の様相が全く異なるので区別して解説する。

4.1 管壁温度の低い場合 ($t_w = 10 \sim 60^\circ\text{C}$)

管壁温度が燃料液体の沸点以下の場合、管内の流れの様子は模型的に図 11 の (A) のように示される。すなわち管内を移動する液体燃料は、形態的に管内面の一部をつたって流れる管壁流と、気流中を飛ぶ液滴粒子とに大別できる。

管内面をつたう燃料流は、第一報にも写真で示したように燃料供給ノズルの壁面にたいする向き、傾き、気流方向、重力などの外力、ある種の濡れ易さなどが原因となって管内壁面の一部に軸方向に沿って筋となる流れをつくる。

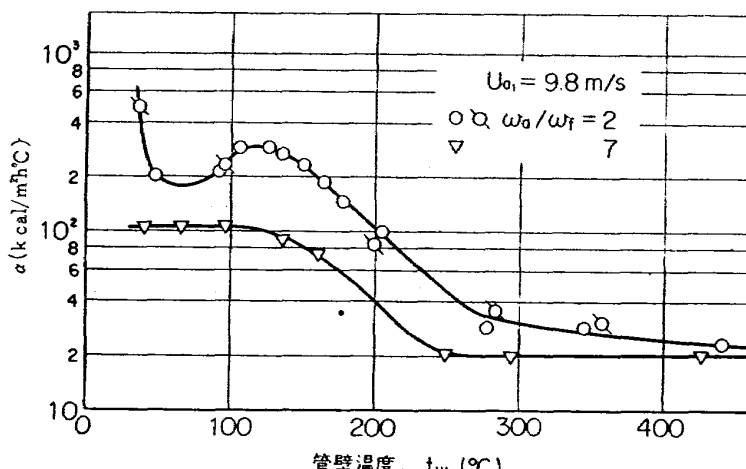


図 5 蒸発管入口風速 9.8 m/s のときの管内平均熱伝達率

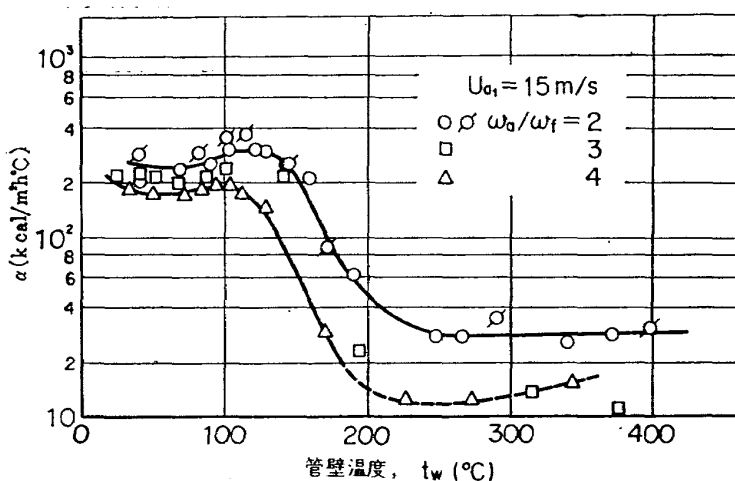


図 6 蒸発管入口風速 15 m/s のときの管内平均熱伝達率

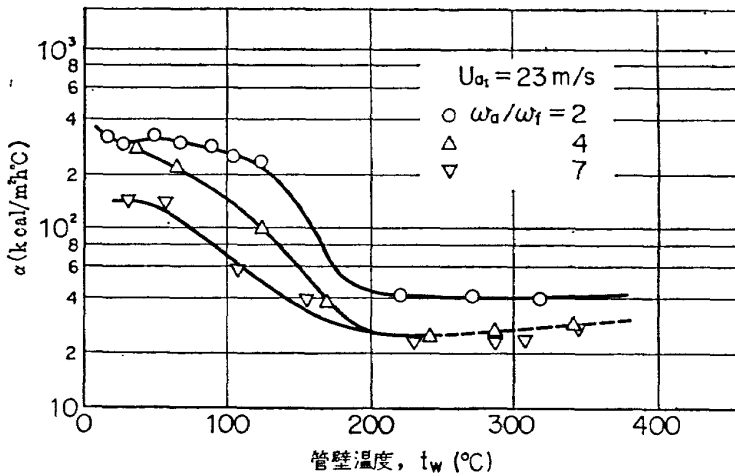


図 7 蒸発管入口風速 23 m/s のときの管内平均熱伝達率

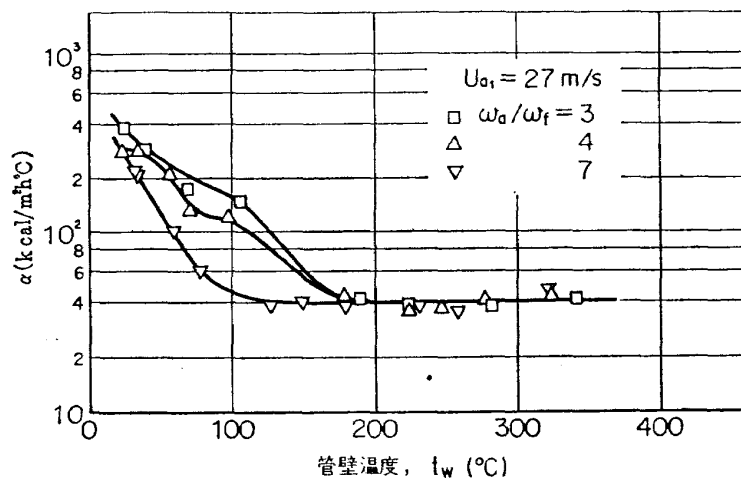


図 8 蒸発管入口風速 27 m/s のときの管内平均熱伝達率

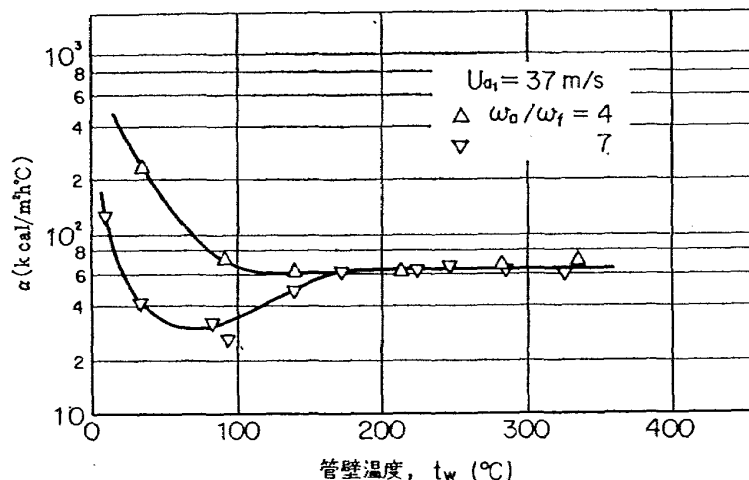


図 9 蒸発管入口風速 37 m/s のときの管内平均熱伝達率

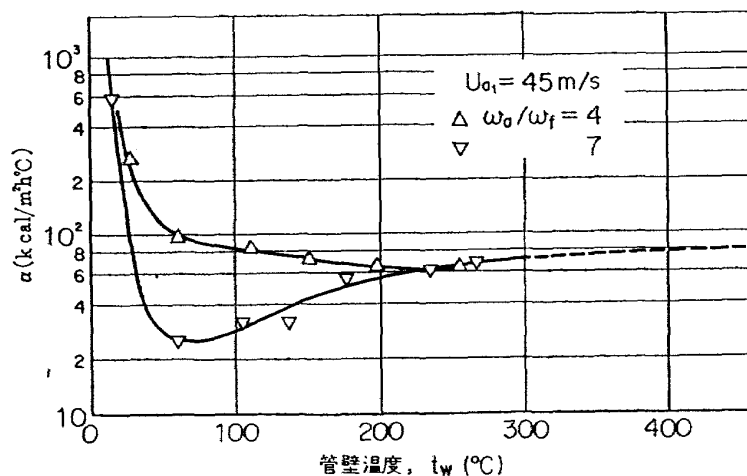


図 10 蒸発管入口風速 45 m/s のときの管内平均熱伝達率

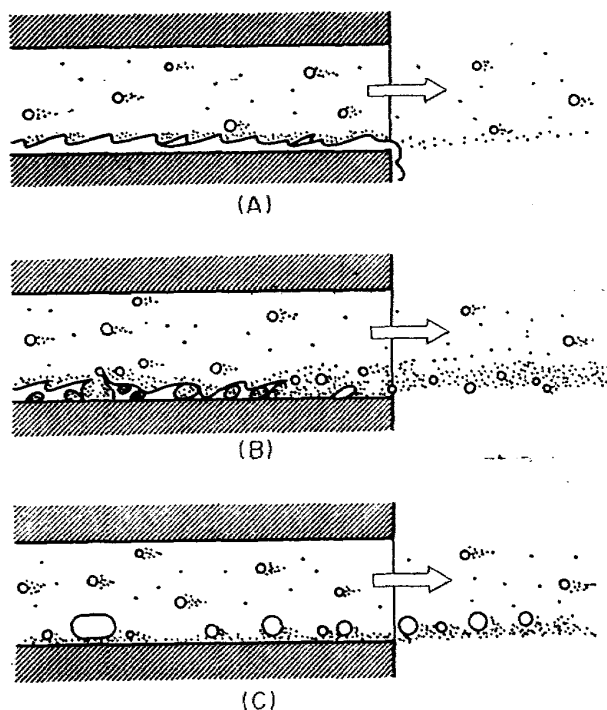


図 11 蒸発管内二相流の状態

この流れはごく薄く、表面に多くのさざなみを生じている。

管内気流中を飛ぶ液滴は、燃料供給ノズルから供給された燃料が気流によって微粒化され、微小液滴として浮遊しているものと、上記管壁流表面のさざなみから気流中に飛び出した液滴 (entrainment) とからなっている。

図 5 から図 10 に得られた熱伝達率の諸値について考察してみると次のようになる。

一般に管壁温度が最も低い段階から壁温が上昇するにしたがい、熱伝達率の急激な減少を示している。

これは管壁温度が低いほど多量の管壁流が存在することに起因するものとみられる。

固体面からそれに接触する液体への局所熱伝達率は数千から 1 万 kcal/m²h°C を越える値になることが知られている。上記の場合も管壁温度が低く、管内面を管壁流が広く覆っている場合は管内面から燃料への熱伝達が非常によいものと考えられる。

管壁流の厚さは、T.J. Hanratty らの水による実験ではほぼ風速に反比例している⁴⁾。この場合もそれがあてはまるものとすると、同一風速の場合、燃料の絶対量が多いほどその管内にひろがる管壁流面積は広い。そのため空燃比が小さいほど大きな熱伝達率を示すことになり、実験結果をよく説明できる。

ただし、総体的に言ってこのような管壁温度が常温に近い場合の実験値は誤差が多い。それは管壁温度と管内平均温度の差が少ないために式(16)の分母が小さい値となり、微小な温度差が大きく影響する結果となる。そのため厳密な比較は無理である。

4.2 ドライアウト現象開始以下の管壁温度領域 (約60°C~200°C)

図5と図6では、管壁温度が120°C付近のとき熱伝達率が極大を示している。

これは加熱平板上での液滴蒸发现象⁵⁾⁶⁾と同様に、局所的に管壁温度が燃料の最大蒸発率点に相当している場合と考えられる。このとき管壁面から液体への熱伝達は最も良好で、液滴は瞬間に蒸発する。

田村・棚沢らの研究⁶⁾によると、本実験にもちいたイソオクタンの最大蒸発率点温度は132°Cであるが本実験では壁温を管軸方向に平均した値をとっているので、必ずしもその温度と一致していない。

図7～図10の場合では、この領域で顕著な熱伝達率の極大を示していない。これは風速が大きいため燃料の気流微粒化がすすみ、燃料供給ノズルから出た燃料のかなり多くの部分がそのまま気流中に浮遊することが原因であろう。この場合、管壁に付着して蒸発する液体量が少なく、最大蒸発率点に相当する熱伝達率極大が顕著に現われない。

一方、最も風速の大きな、図9、図10で空燃比の大きな場合、管壁温度が100°C付近でかえって熱伝達率

は極小を示している。

これは“微小液滴の発生”とそのジュワビン内での蒸発による出口温度の低下が原因となっている。

この温度領域では下記のように“微小液滴が発生”する。これが前報12頁で述べたように、空燃比の大きい場合にはジュワビン内で蒸発しやすく雰囲気温度を低下させる。その蒸発量は空燃比やジュワビン内温度からみて多くはない。しかし、図9、図10のように管内風速が大きくなるにつれジュワビン内はせき止め圧の上昇により、管出口から出た気体全部がジュワビン内に入って均一混合することができない。そのため、ジュワビンに入った気体のみ微小液滴の蒸発によって冷却される。

実験値の計算では、蒸発管から噴出した混合気体全体がこのジュワビン内の温度であると考えているので熱伝達率は実際より低く算出されることになる。

空燃比の比較的小さい場合は、ジュワビン内蒸気圧が飽和に近くなるため、この蒸発による影響が少ないと考えられる。

この温度領域での“微小液滴の発生”とは次のようなものである。

管壁温度が燃料の沸点に近いとき、管内の流れは図11の(B)のように管壁流が激しい核沸とうをしている。そのさいできる気泡の破裂により微細な液滴飛沫が発生する。このようは高温面に沿う液膜が、その境界などで蒸気のためはじきとばされ、あるいは微細液滴を発生させながら蒸発をおこなうことは他の実験者によっても観察されている⁷⁾⁸⁾。

この現象が起きていることは蒸発管出口温度の計測からも認められる。

出口温度は図1のようにジュワビンの内部にあって蒸発管から噴出した液滴を含んだ混合気流が直接衝突

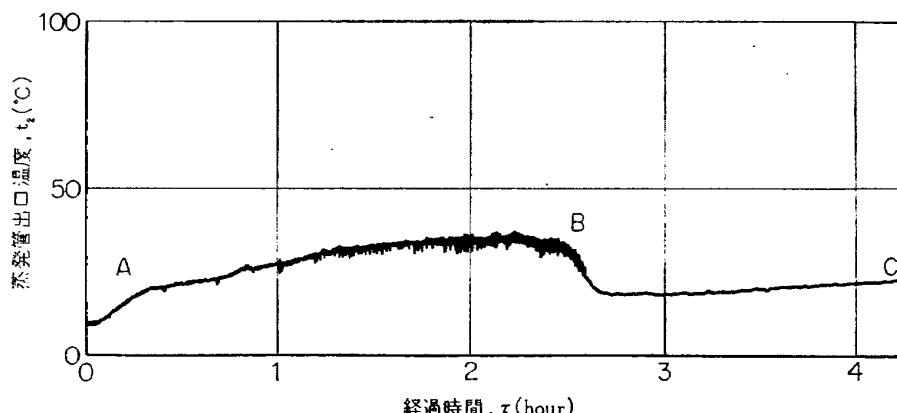


図12 蒸発管出口温度の変化

しない位置に設置した熱電対で測定している。

ところがジュワビン内部で逆流した気流中に微細な液滴が含まれるとこの熱電対に付着する。その結果付着した液滴のもつ顯熱と蒸発潜熱のため測定指示値に影響をおよぼす。

このような状態の蒸発管出口温度実測例を図 12 に示す。図 12 は A から B 方向へ横軸で示した時間が経過し、それと共に管壁温度が上昇している場合の出口温度変化を示す。

A から管壁がドライアウトをおこす点 B に近くなるにつれ、上述のような核沸とう現象による微粒子が発生し、このため温度指示に著しい変動を与えている。

B から C にかけては管壁でドライアウト現象がおきているので、液滴が熱電対に付着することがなくなり計測値の変動がなくなっている。

このような場合の管内の様子は図 11 の (C) のように、気流中を飛ぶ液滴とライデンフロスト現象をおこして管内面を転がる液滴、ないし液滴塊の流れとなる。

このように管壁流が沸とうをおこしている管壁温度領域では気流中にかなり多くの微小液滴が浮遊し、ジュワビン内に入る。これが前述のジュワビン内温度低下をひきおこすのがある。

4.3 ドライアウト領域 (200°C 以上)

蒸発管の実用的見地からは、管壁温度が高い場合の現象がことに重要である。

図 5 から図 10 をみると管壁温度が 200°C 以上の場合の熱伝達率は、管壁温度にたいしてほとんど一定となっている、あるいは一定に漸近している。

図 6 と図 7 では空燃比の大きいものが、小さいものと較べてかなり下まわった値となっている。これは供給燃料絶対量の僅少による捕集損失³⁾が熱伝達率の算定に大きく影響したものと解釈される。

図 5 の場合には風速が遅いので気流微粒化が少なく、影響が小さい結果となったのであろう。

この管壁温度領域の管内は図 11 の (C) のように燃料液滴がその発生蒸気により直接壁面に接觸しない、いわゆるライデンフロスト現象をおこしている。すなわち管壁面はドライアウト* の状態にある。

そのため管壁面の熱は燃料液体に伝達しにくくなっている。

このライデンフロスト現象にある液滴への伝熱現象

については静止霧囲気中で単滴、あるいは液塊をつかって、1756 年の Leidenfrost の研究以来、V. M. Borishansky⁶⁾ や B.S. Godfried⁹⁾ など、多くの研究者によって実験、および理論的考察がなされている。

液滴と壁面とが相対速度をもつ場合には、単滴でごく限られた実験範囲ではあるが G.J. Schoessow¹⁰⁾ による報告がある。

しかし、多くの液滴が気流中にあって管内がドライアウト現象をおこしている場合の熱伝達率については系統的報告がない。

にもかかわらずこのような状況は工業的に重要であるので、熱伝達率の推算を次のように試みてみた。

蒸発管内では燃料の噴射と気流の作用による燃料の微粒化がおこなわれているが、ここでは簡単のため蒸発管の始めから液滴を含んだ気流が管内を流れると仮定する。

そのとき上記の諸研究などから、管内の液滴への伝熱は壁面と液滴との間に存在する蒸気層を介するものと考えることができる。

したがってドライアウト状態での管内の熱伝達率は管内を燃料の飽和蒸気のみが流れている場合の熱伝達率と密接な関係が予想される。

そこで、使用したイソオクタンの飽和蒸気のみを蒸発管内に流したと仮定して、次式によって管内平均熱伝達率を求めてみた。

すなわち、発達した等温管内乱流熱伝達率は、

$$\alpha_{\infty} = 0.023 \frac{\lambda}{D} Re^{0.8} Pr^{0.4} \quad (17)^{11}$$

から求めることができる。蒸発管は比較的短かいので、その大部分は速度助走区間内にある。そこで次式によって入口から L m までの助走区間内平均熱伝達率 α_L を求めた。

$$\frac{\alpha_L}{\alpha_{\infty}} = 1.11 \cdot \left[\frac{Re^{0.2}}{(L/D)^{0.8}} \right]^{0.275} \quad (18)^{11}$$

以後、とくにことわりのない限り、平均熱伝達率とはこの α_L の値をさすものとする。

図 13 に同一レイノルズ数で比較した空気とイソオクタン蒸気の平均熱伝達率を示す。

この図において横軸はそのレイノルズ数と、相当する蒸発管入口風速（入口温度 20°C）を示した。

実線は空気、破線はイソオクタン蒸気の熱伝達率を示す。

図 5 から図 10 に結果を示した実験条件は、入口での空気と燃料の温度が常温であるので、図 13 の空気および燃料蒸気の管入口温度が 20°C、および燃料の

* 本報で、“ドライアウト”とは管壁流、または燃料液滴が管内面に付着せず、濡らさなくなつた状態をさすものとする。

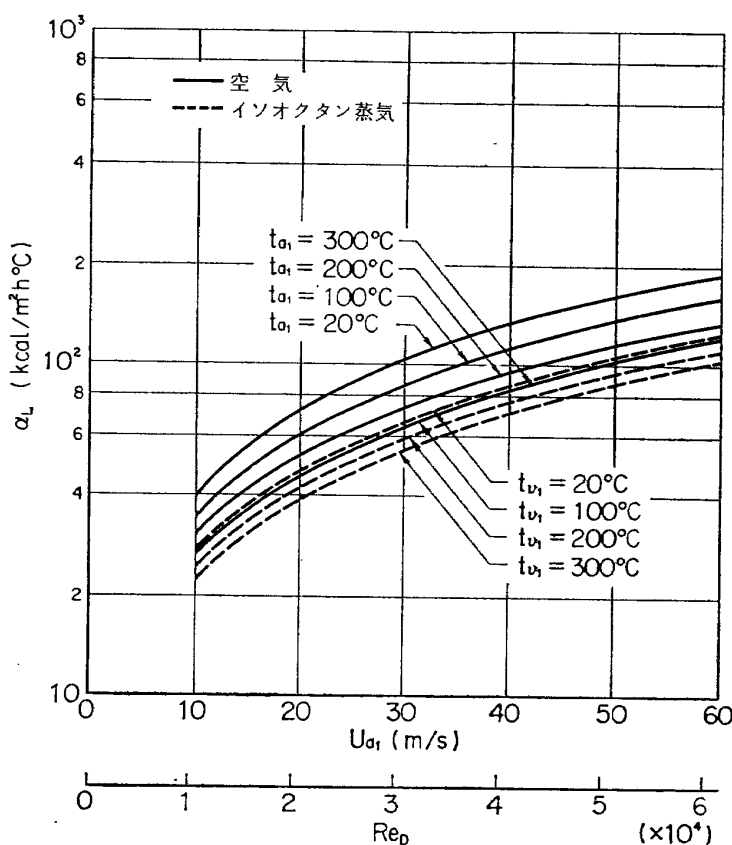


図 13 空気とイソオクタン蒸気の管内平均熱伝達率

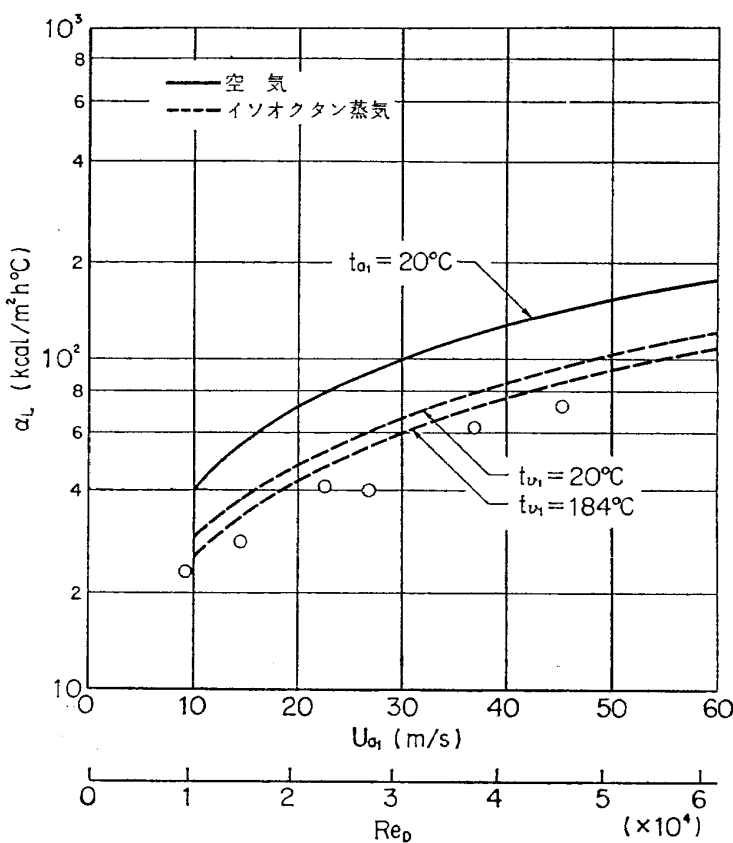


図 14 空気およびイソオクタン蒸気の管内熱伝達率と燃料-空気二相流のドライアウト時熱伝達率比較

ライデンフロスト点温度のものをとりだして実験点をプロットしてみると図 14 のようになる。横軸のとり方は図 13 と同じである。

ただし、これらの実験点は図 5 から図 10 の熱伝達率測定値のうち、ドライアウトをおこしてその値が一定となっているものを示した。また、前報の捕集誤差の項にも述べたように空燃比の小さい場合ほど捕集誤差が少なく、蒸発の影響も少ないので空燃比最小のデータをしるした。

この図より、ドライアウト時の管内平均熱伝達率はイソオクタン飽和蒸気が、管内空気流に相当するレイノルズ数で流れたと仮定して計算した熱伝達率に近い値であることがわかる。実験値が一般に下に位置するが、管出口より噴出した流れをすべてジュワビン内に入れ混合、均一化をはかれば、より計算の場合と近い

値となろう。

このことから液滴を含む気流へのドライアウト時の熱伝達率は壁面からその液体の飽和蒸気にたいする熱伝達率にひとしいと考えることができる。

5. 管壁温度分布にたいする検討

以上の実験値の計算などにおいて、管壁温度は管内均一であるとした。すなわち図 1 に示した管壁温度測定点 4 点の算術平均温度 T_w に管内面が一様になっているものとした。

しかし管内の二相流の状態によっては、軸方向に前報に示したような温度偏差が生じる。

管の半径方向および円周方向の温度分布については実験装置の関係上実測が困難である。

そこで二相流状態が管断面温度分布におよぼす影響

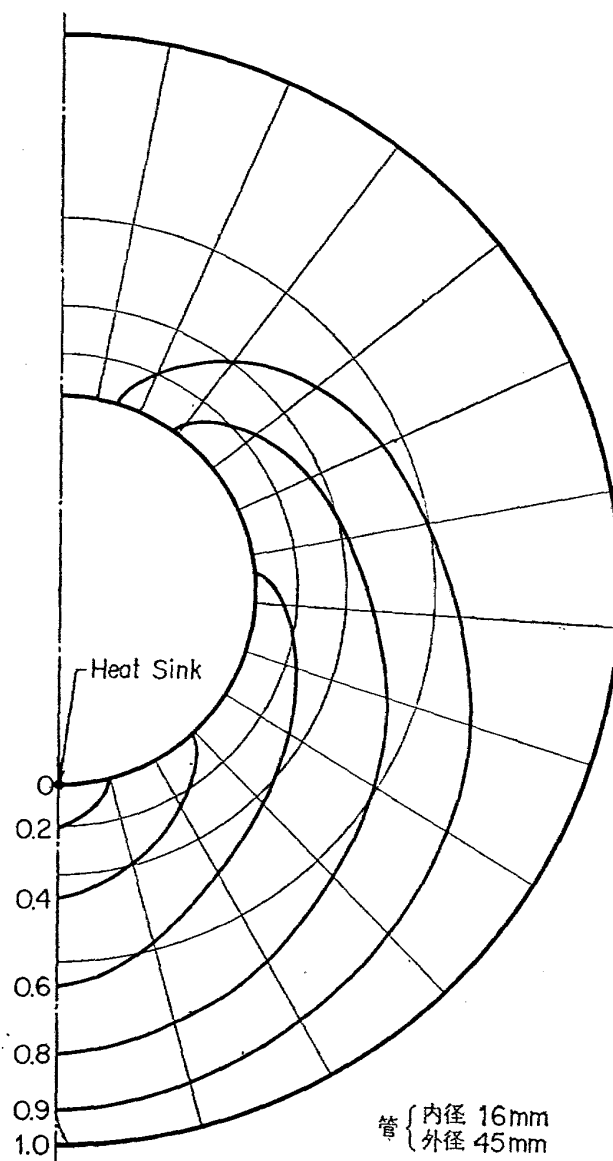


図 15 蒸発管断面の等温線

が最も苛酷な場合について、温度分布を計算で求めてみた。

最も局所的温度差の生じる状態は、管内下面を燃料液体が流れている、その顯熱と蒸発潜熱が熱吸収として下面に作用している場合である。

一方、管の外面は円周方向にヒータ線を巻いているので最外面では円周方向の温度差はないと考える。

このような境界条件で弛緩法をつかって計算すると図 15 のような等温線が得られる。図において管内下面部の熱吸収点の温度を 0、外周を 1 とした。計算の最終許容誤差範囲は ±5% 以内とした。

この結果、管壁流の存在するとき、あるいは管壁流が沸とうしているとき、管内面上部の温度はほとんど管外面の温度に近くなっていることがわかる。

同時に、このとき管内部への熱流束は、管壁流にたいするものが支配的であるといえる。

ドライアウト状態では、管内周の二相流熱伝達の模様がほとんど均一となるため、管断面の温度分布はより同心円的になろう。

6. まとめ

ガスタービン用蒸発形燃焼器の燃料蒸発管の単純化モデルをつかって、管内を流れる燃料-空気二相流について平均熱伝達を求め、次の結果を得た。

- (1) 管内風速がごく遅いとき、管壁流の消失する管壁温度 120°C 付近で熱伝達率は極大を示す。
- (2) 管内風速が約 23 m/s 以上では、熱伝達率は管壁温度上昇にともなってほぼ単調に減少する。
- (3) 管壁温度が上昇し、管内がドライアウト現象を呈した場合には、熱伝達率は管壁温度や空燃比に依存せず一定である。
- (4) 管内がドライアウト状態での熱伝達率は管内気流に相当するレイノズル数で燃料飽和蒸気が管内を流れたと仮定した熱伝達率の値にはほぼひとしい。

以上の結果、蒸発形燃焼器の蒸発器部分の設計に関し、次の事柄が明らかにできた。

燃料を燃焼器の熱で最も有効に蒸発させようとするなら、熱伝達の良好な条件、すなわち管内面に燃料流を接触させて蒸発をおこなわせる状態がのぞましい。

しかしこの場合、管壁温度が燃料のライデンフロスト点以上に高くなった場合、管内はドライアウト現象がおき、不可逆的に急激な管壁温度上昇をきたす。

これは燃焼器要素の特性としては好ましくない。

一方、蒸発管をドライアウト現象のおきている状態

で使用すれば、熱伝達率は小さいが空燃比、管壁温度などの変動にも無関係で安定した蒸発管性能を発揮することができよう。

また管内風速を大きく(本実験の場合 23 m/s 以上)すると熱伝達率の極大、すなわち急激なドライアウト現象を避けることができる。

管内風速の増大は同時に管内に供給した燃料の微粒化にも役立ち、ドライアウトによる管壁流剥離によって生成する粗大な液滴塊が管出口から噴出するのを避けることになる。

またそのときの蒸発器部分の熱伝達率は燃料飽和蒸気にたいする値を設計値とすればよい。

以上、実験範囲が入口温度が常温で、燃料の相変化の最も特徴的な領域について実験をおこなった。

本実験範囲より管壁温度の高い、あるいは入口空気温度の高い条件では管内はドライアウトの状態にある。

また管内風速が本実験より速い場合にも、燃料は気流微粒化され管内均一に液滴が分布されると考えてよく、管壁にはそれらの付着によるごく薄い液膜しか生じない。

そこでこのような場合には急激な温度上昇、著しい管壁温度分布の変化などがおこらないので熱伝達率の測定は 1. の (1) の方法がより適切であろう。

燃料物性値資料の入手にあたっては、東方貿易株式会社覚本覚治、関東高圧化学株式会社加藤亮両氏のお世話になった。ここに記して謝意を表する。

文 献

- 1) 大塚貞吉、鈴木邦男、田丸 卓、乙幡安雄；燃料蒸発管に関する研究 (I) 直管内における二相流、航技研資料、TM-115, (1967-9)
- 2) 鈴木邦男、田丸 卓、乙幡安雄；燃料蒸発管に関する研究 (II) 加熱蒸発管の燃料未蒸発分捕集、航技研資料 TM-161, (1969-8)
- 3) R.W. Gallant; Physical Properties of Hydrocarbons, Hydrocarbon Processing, Vol. 46, No. 10, (1967) pp. 135-141
- 4) T.J. Hanratty and J.M. Engen; Interaction between a Turbulent Air Stream and a Moving Water Surface, A.I. Ch. E. Journal, Vol. 3, No. 3, (1957-9) pp. 299-303
- 5) V.M. Borishansky; Heat Transfer to a Liquid Freely Flowing over a Surface Heated to a Temperauture above the Boiling Point, Translation Series, AEC-tr-3405 (1953)
- 6) Z. Tamura and Y. Tanasawa; Evaporation

- and Combustion of a Drop Contacting with a Hot Surface, Seventh Symposium (International) on Combustion (1959) pp. 509-522
- 7) 棚沢 泰, 永井伸樹, 藤村敏之; 高温面に接触する液粒および液膜の蒸発と内部蒸発燃焼器に対する応用, 第3回日本伝熱シンポジウム前刷集, (1966-5) p. 207
- 8) 山内淳男; 垂直高温壁上の水膜境界移動速度, 日本機械学会論文集(第2部) 34巻, 266号 (1968-10) pp. 1756-1767
- 9) B.S. Gottfriet, C.J. Lee, and K.J. Bell; The Leidenfrost Phenomenon; Film Boiling of Liquid Droplets on a Flat Plate, Int. J. Heat Mass Transfer, Vol. 9. pp. 1167-1187
- 10) G. S. Schoessow, D. R. Jones and K. J. Baumeister; Leidenfrost Film Boiling of Drops on a Moving Surface, Heat Transfer-Seattle, Chemical Engineering Progress Symposium Series, Vol. 64, No. 82, (1968) pp.95-101
- 11) 日本機械学会; 伝熱工学資料 (1962) p. 27-28, 日本機械学会

付 錄 A

 $U_{a1}=9.8 \text{ m/s}, w_a/w_f=2 \quad (w_a=2.2 \text{ g/s}, w_f=1.1 \text{ g/s})$

Run	1	2	3	4	5	6	7	8	9	10
t_f	18	17	18	18	18	18	18	18	18	18
t_1	18	19	19	19	20	20	20	20	20	20
t_2	18	27	47	62	78	80	83	80	76	70
t_3	—	—	—	—	—	—	—	50	49	54
t_4	15	42	78	90	—	—	—	—	—	—
t_5	17	44	88	103	114	117	123	129	156	199
t_6	16	47	92	103	114	117	129	148	171	208
t_7	16	50	97	111	129	144	166	180	188	210
t_8	16	51	100	110	152	166	188	200	188	208
t_w	16	48	94	107	127	136	152	164	179	206
t_b	18	23	23	41	48	50	52	50	48	45
w_{fd}	0	0	0	0	0	0	0	0.123	0.285	0.46
R_c	0	0	0	0	0	0	0	0.11	0.26	0.42
w_{fw}	1.03	0.89	0.54	0.03	0	0	0	0	0	0
R_c	0.94	0.82	0.49	0.03	0	0	0	0	0	0
w_{fv}	0.07	0.21	0.56	1.07	1.1	1.1	1.1	0.977	0.815	0.64
R_v	0.06	0.19	0.51	0.97	1.0	1.0	1.00	0.89	0.74	0.58
α	—	204	218	300	293	269	236	189	144	99

 $U_{a1}=9.8 \text{ m/s}, w_a/w_f=2 \quad (w_a=2.2 \text{ g/s}, w_f=1.1 \text{ g/s})$

Run	11	12	13	1	2	3	4	5	6	
t_f	18	19	19	16	16	17	17	17	18	
t_1	20	20	20	18	18	18	19	19	20	
t_2	54	66	68	15	30	54	66	68	80	
t_3	41	42	47	—	25	—	48	41	44	
t_4	—	—	—	13	44	73	—	—	—	
t_5	253	310	395	15	53	92	188	256	325	
t_6	274	342	435	15	56	97	198	281	354	
t_7	291	366	461	15	58	102	205	298	374	
t_8	296	371	468	14	60	103	204	303	376	
t_w	279	347	440	15	36	98	201	285	357	
t_b	37	43	44	17	24	36	43	44	50	
w_{fd}	0.97	0.93	0.96	0	0.013	0	0.63	0.99	1.00	
R_c	0.88	0.85	0.87	0	0.01	0	0.58	0.90	0.91	
w_{fw}	0	0	0	1.01	0.89	0.48	0	0	0	
R_c	0	0	0	0.91	0.81	0.44	0	0	0	
w_{fv}	0.13	0.17	0.14	0.09	0.197	0.62	0.47	0.11	0.10	
R_v	0.12	0.15	0.13	0.08	0.18	0.56	0.43	0.10	0.09	
α	29	29	23	—	489	239	84	35	31	

$U_{a1}=9.8 \text{ m/s}, w_a/w_f=7$ ($w_a=2.2 \text{ g/s}$, $w_f=0.32 \text{ g/s}$)

Run	1	2	3	4	5	6	7	8	9	
t_f	24	24	25	25	25	26	26	25	25	
t_1	24	25	25	25	26	27	27	27	27	
t_2	23	28	37	49	66	69	61	66	79	
t_3	—	—	—	—	—	—	33	34	65	
t_4	19	30	48	—	—	—	—	—	—	
t_5	22	39	64	93	120	147	239	283	400	
t_6	22	40	65	96	134	155	249	295	423	
t_7	21	40	67	99	145	164	256	304	442	
t_8	21	40	65	97	146	164	252	299	440	
t_w	22	40	65	96	136	160	249	295	426	
t_b	24	27	31	37	46	48	44	47	53	
w_{fd}	0	0	0	0	0	0	0.26	0.22	0.17	
R_c	0	0	0	0	0	0	0.82	0.72	0.56	
w_{fw}	0.25	0.23	0.13	0	0	0	0	0	0	
R_c	0.78	0.71	0.40	0	0	0	0	0	0	
w_{fv}	0.07	0.09	0.19	0.32	0.32	0.32	0.06	0.10	0.15	
R_v	0.22	0.28	0.59	1.00	1.00	1.00	0.19	0.31	0.47	
α	—	105	107	106	90	75	20	20	20	

$U_{a1}=15 \text{ m/s}, w_a/w_f=2$ ($w_a=3.5 \text{ g/s}$, $w_f=1.75 \text{ g/s}$)

Run	1	2	3	4	5	6	7	8	9	10
t_f	16	17	17	17	17	18	18	18	18	18
t_1	17	17	18	19	19	20	19	20	20	20
t_2	9	13	22	29	38	56	56	56	58	30
t_3	10	19	27	33	40	47	47	47	47	37
t_4	9	35	54	65	70	—	—	—	—	—
t_5	12	39	66	86	102	112	114	120	127	164
t_6	12	41	68	88	102	110	113	122	141	180
t_7	10	43	73	94	106	124	136	154	178	205
t_8	9	43	75	95	106	146	157	180	200	220
t_w	11	41	70	91	104	123	130	144	161	192
t_b	13	15	20	24	29	38	38	38	39	25
w_{fd}	0.102	0.192	0.171	0.168	0.168	0.127	0.171	0.247	0.363	1.2
R_c	0.058	0.11	0.10	0.10	0.10	0.073	0.10	0.14	0.21	0.68
w_{fw}	1.362	1.22	0.89	0.525	0.027	0	0	0	0	0
R_c	0.78	0.70	0.51	0.30	0.02	0	0	0	0	0
w_{fv}	0.286	0.338	0.689	1.057	1.555	1.623	1.579	1.503	1.387	0.55
R_v	0.16	0.19	0.39	0.60	0.89	0.93	0.90	0.86	0.79	0.31
α	—	207	243	258	315	203	310	259	218	62

$U_{a1}=15 \text{ m/s}, w_a/w_f=2$ ($w_a=3.5 \text{ g/s}$, $w_f=1.75 \text{ g/s}$)

Run	11	12	13	14	1	2	3	4	5	6
t_f	18	18	18	18	17	17	17	17	17	17
t_1	20	20	20	20	19	20	21	22	22	22
t_2	28	28	33	33	13	20	35	48	58	61
t_3	34	33	37	42	10	17	28	36	41	42
t_4	—	—	—	—	11	33	57	61	—	—
t_5	231	232	302	332	13	38	80	102	110	120
t_6	248	259	337	366	13	40	80	101	107	121
t_7	259	276	361	390	12	42	85	104	113	159
t_8	259	284	364	402	12	42	86	104	134	185
t_w	249	267	341	372	13	41	83	103	116	146
t_b	24	24	27	26	16	20	28	33	40	31
w_{fd}	1.51	1.45	1.43	1.39	0.102	0.134	0.149	0.15	0.133	0.365
R_c	0.86	0.83	0.81	0.79	0.06	0.08	0.09	0.09	0.08	0.21
w_{fw}	0	0	0	0	1.36	1.25	0.71	0.155	0	0
R_c	0	0	0	0	0.78	0.71	0.41	0.09	0	0
w_{fv}	0.24	0.30	0.32	0.39	0.288	0.366	0.891	1.445	1.617	1.385
R_v	0.14	0.17	0.18	0.21	0.16	0.21	0.51	0.83	0.92	0.79
α	28	28	27	28	—	299	298	362	382	258

$U_{a1}=15 \text{ m/s}, w_a/w_f=2$ ($w_a=3.5 \text{ g/s}$, $w_f=1.75 \text{ g/s}$)

Run	7	8	9							
t_f	18	18	18							
t_1	23	22	22							
t_2	37	51	63							
t_3	36	30	35							
t_4	—	—	—							
t_5	179	259	356							
t_6	180	287	396							
t_7	184	308	418							
t_8	188	313	424							
t_w	173	292	399							
t_b	30	37	43							
w_{fd}	1.03	1.52	1.59							
R_c	0.59	0.87	0.91							
w_{fw}	0	0	0							
R_c	0	0	0							
w_{fv}	0.72	0.23	0.16							
R_v	0.41	0.13	0.09							
α	91	36	31							

$U_{a1}=15 \text{ m/s}, w_a/w_f=3$ ($w_a=3.5 \text{ g/s}, w_f=1.15 \text{ g/s}$)

Run	1	2	3	4	5	6	7	8	9	10
t_f	23	24	24	24	24	25	25	24	24	24
t_1	25	25	25	26	26	26	27	27	28	27
t_2	19	24	28	32	40	48	67	28	35	26
t_3	13	16	19	24	30	36	50	32	35	37
t_4	22	33	41	49	59	65	—	—	—	—
t_5	27	42	54	73	89	106	101	190	303	353
t_6	27	41	53	69	85	101	132	194	316	370
t_7	27	41	54	65	88	103	153	200	325	380
t_8	25	40	52	67	90	98	155	195	316	366
t_w	27	41	53	69	88	102	143	195	315	376
t_b	22	25	27	29	33	37	47	—	31	27
w_{fa}	0.045	0.031	0.064	0.057	0.07	0.077	0.037	0.87	1.00	0.87
R_c	0.04	0.03	0.06	0.05	0.06	0.07	0.03	0.75	0.87	0.75
w_{fw}	0.907	0.83	0.72	0.605	0.36	0.088	0	0	0	0
R_c	0.79	0.72	0.63	0.53	0.31	0.08	0	0	0	0
w_{fv}	0.198	0.289	0.366	0.488	0.72	0.985	1.113	0.28	0.15	0.28
R_v	0.17	0.25	0.32	0.42	0.63	0.86	0.97	0.24	0.13	0.24
α	223	226	214	197	217	246	224	23	14	11

$U_{a1}=15 \text{ m/s}, w_a/w_f=4$ ($w_a=3.5 \text{ g/s}, w_f=0.875 \text{ g/s}$)

Run	1	2	3	4	5	6	7	8	9	10
t_f	22	23	23	24	25	25	25	25	25	25
t_1	23	24	25	25	26	27	28	28	28	28
t_2	13	20	24	32	36	39	46	47	48	30
t_3	10	14	19	25	29	33	61	36	41	32
t_4	13	25	37	48	54	61	—	—	—	—
t_5	17	33	49	70	83	93	101	106	118	161
t_6	16	33	49	71	83	93	101	106	122	166
t_7	15	34	51	75	87	97	107	117	137	178
t_8	15	33	49	71	84	95	107	117	138	176
t_w	16	34	50	72	84	95	104	112	129	170
t_b	18	22	25	29	31	33	37	38	38	39
w_{fa}	0.055	0.04	0.048	0.054	0.069	0.078	0.058	0.067	0.054	0.57
R_c	0.05	0.46	0.06	0.06	0.08	0.09	0.067	0.08	0.06	0.65
w_{fw}	0.64	0.60	0.48	0.31	0.123	0.014	0	0	0	0
R_c	0.73	0.69	0.55	0.35	0.14	0.02	0	0	0	0
w_{fv}	0.180	0.235	0.347	0.511	0.683	0.783	0.817	0.808	0.821	0.305
R_v	0.21	0.27	0.40	0.58	0.78	0.89	0.93	0.92	0.94	0.35
α	102	184	173	176	186	195	194	174	146	29

$U_{a1}=15 \text{ m/s}, w_a/w_f=4$ ($w_a=3.5 \text{ g/s}$, $w_f=0.875 \text{ g/s}$)

Run	11	12	13	14						
t_f	25	25	24	24						
t_1	28	28	28	28						
t_2	30	28	30	37						
t_3	32	29	32	36						
t_4	—	—	—	—						
t_5	161	219	260	329						
t_6	166	227	273	343						
t_7	178	233	282	355						
t_8	176	227	274	344						
t_w	170	226	272	342						
t_b	29	28	29	33						
w_{fd}	0.57	0.685	0.695	0.645						
R_c	0.65	0.78	0.80	0.74						
w_{fw}	0	0	0	0						
R_c	0	0	0	0						
w_{fv}	0.305	0.190	0.180	0.230						
R_v	0.35	0.22	0.21	0.26						
α	30	12	12	15						

$U_{a1}=23 \text{ m/s}, w_a/w_f=2$ ($w_a=5.25 \text{ g/s}$, $w_f=2.6 \text{ g/s}$)

Run	1	2	3	4	5	6	7	8	9	10
t_f	22	22	22	23	23	23	23	23	23	23
t_1	24	25	25	25	25	26	26	27	25	25
t_2	12	13	18	22	28	30	34	25	28	30
t_3	12	14	19	23	29	32	35	26	29	33
t_4	13	23	38	45	57	—	—	—	—	—
t_5	17	29	51	69	94	107	123	217	266	310
t_6	15	28	48	65	87	100	113	223	272	320
t_7	15	28	50	68	90	106	130	229	281	328
t_8	16	27	47	63	84	103	129	217	266	310
t_w	16	28	49	66	89	104	123	221	271	319
t_b	18	19	22	24	27	28	30	26	27	28
w_{fd}	0.82	0.80	0.94	1.00	1.06	1.02	0.958	1.87	1.84	1.80
R_c	0.32	0.31	0.36	0.39	0.41	0.39	0.37	0.72	0.71	0.69
w_{fw}	1.40	1.23	0.79	0.434	0.053	0	0	0	0	0
R_c	0.54	0.47	0.30	0.17	0.02	0	0	0	0	0
w_{fv}	0.38	0.57	0.87	1.166	1.487	1.58	1.642	0.73	0.76	0.80
R_v	0.15	0.22	0.33	0.54	0.57	0.61	0.63	0.28	0.29	0.31
α	332	305	331	310	297	265	240	43	42	41

$U_{a1}=23 \text{ m/s}, w_a/w_f=4$ ($w_a=5.25 \text{ g/s}$, $w_f=1.31 \text{ g/s}$)

Run	1	2	3	4	5	6	7	8		
t_f	17	17	17	18	18	18	18	18		
t_1	19	21	22	23	24	24	24	24		
t_2	6	11	19	25	23	25	28	34		
t_3	8	13	21	27	24	28	30	34		
t_4	8	35	61	—	—	—	—	—		
t_5	10	34	55	100	156	220	256	303		
t_6	9	35	61	119	168	240	284	340		
t_7	8	37	68	137	178	254	303	362		
t_8	8	40	73	146	179	256	308	368		
t_w	9	36	64	125	170	242	288	343		
t_b	13	16	21	24	24	25	26	29		
w_{fd}	0.336	0.347	0.421	0.551	0.87	0.95	0.914	0.884		
R_c	0.26	0.26	0.32	0.42	0.67	0.73	0.70	0.67		
w_{fw}	0.50	0.296	0.045	0	0	0	0	0		
R_c	0.38	0.23	0.03	0	0	0	0	0		
w_{fv}	0.474	0.667	0.844	0.759	0.44	0.36	0.396	0.426		
R_v	0.36	0.51	0.64	0.58	0.34	0.27	0.30	0.33		
α	—	284	222	101	39	25	27	29		

$U_{a1}=23 \text{ m/s}, w_a/w_f=7$ ($w_a=5.25 \text{ g/s}$, $w_f=0.75 \text{ g/s}$)

Run	1	2	3	4	5	6	7	8	9	
t_f	17	17	18	18	18	18	18	18	18	
t_1	18	20	20	22	23	23	22	22	22	
t_2	7	10	15	19	23	25	28	29	36	
t_3	9	14	16	28	32	37	42	46	48	
t_4	7	26	—	—	—	—	—	—	—	
t_5	9	28	47	88	133	208	256	276	308	
t_6	9	31	54	103	153	228	284	306	342	
t_7	8	33	60	116	167	242	301	322	362	
t_8	8	34	63	121	172	245	303	328	366	
t_w	9	31	56	107	156	231	286	308	341	
t_b	12	15	18	21	23	24	25	26	29	
w_{fd}	0.132	0.146	0.188	0.276	0.342	0.456	0.44	0.434	0.411	
R_c	0.18	0.19	0.25	0.37	0.46	0.61	0.59	0.58	0.55	
w_{fw}	0.358	0.205	0	0	0	0	0	0	0	
R_c	0.48	0.27	0	0	0	0	0	0	0	
w_{fv}	0.255	0.399	0.562	0.474	0.408	0.294	0.31	0.316	0.339	
R_v	0.34	0.53	0.75	0.63	0.54	0.39	0.41	0.42	0.45	
α	—	148	138	59	40	23	24	23	27	

$U_{a1}=27 \text{ m/s}, w_a/w_f=3$ ($w_a=6.4 \text{ g/s}$, $w_f=2.1 \text{ g/s}$)

Run	1	2	3	4	5	6	7	8	9	
t_f	23	24	23	23	23	24	24	24	24	
t_1	24	25	27	27	27	27	28	28	28	
t_2	13	13	15	21	24	23	24	28	32	
t_3	12	14	17	22	25	25	27	29	33	
t_4	13	18	29	48	—	—	—	—	—	
t_5	16	25	41	68	96	183	213	273	330	
t_6	15	24	40	67	100	189	220	281	342	
t_7	14	24	40	72	112	194	225	291	353	
t_8	13	23	37	67	110	185	239	274	332	
t_w	14	24	39	68	105	188	224	280	339	
t_b	19	19	21	24	26	25	26	28	30	
w_{fd}	0.740	0.774	0.82	0.98	0.96	1.37	1.36	1.265	1.13	
R_c	0.35	0.37	0.39	0.47	0.46	0.65	0.65	0.60	0.53	
w_{fw}	0.81	0.71	0.433	0.33	0	0	0	0	0	
R_c	0.39	0.34	0.21	0.16	0	0	0	0	0	
w_{fv}	0.550	0.616	0.847	0.79	1.14	0.73	0.74	0.835	0.97	
R_v	0.26	0.29	0.40	0.38	0.54	0.35	0.35	0.40	0.46	
α	—	395	303	177	150	43	38	40	43	

$U_{a1}=27 \text{ m/s}, w_a/w_f=4$ ($w_a=6.3 \text{ g/s}$, $w_f=1.5 \text{ g/s}$)

Run	1	2	3	4	5	6	7	8	9	10
t_f	18	18	19	18	19	18	19	19	19	19
t_1	21	23	25	23	25	23	25	23	23	23
t_2	9	12	18	19	23	23	26	29	33	40
t_3	12	14	20	21	24	26	29	29	32	35
t_4	15	23	47	—	—	—	—	—	—	—
t_5	21	31	50	58	83	155	204	220	252	288
t_6	23	33	55	66	96	175	222	244	274	320
t_7	23	34	61	76	97	189	234	261	291	342
t_8	23	35	63	80	116	194	236	264	293	347
t_w	23	33	57	70	98	178	224	247	277	324
t_b	15	18	22	21	24	23	26	28	32	
w_{fd}	0.570	0.602	0.702	0.733	0.788	1.06	1.095	1.11	1.045	1.03
R_c	0.36	0.381	0.44	0.46	0.50	0.67	0.70	0.70	0.66	0.65
w_{fw}	0.47	0.30	0.046	0	0	0	0	0	0	0
R_c	0.30	0.19	0.03	0	0	0	0	0	0	0
w_{fv}	0.540	0.678	0.832	0.847	0.792	0.52	0.485	0.47	0.535	0.55
R_v	0.34	0.43	0.53	0.54	0.50	0.33	0.31	0.30	0.34	0.35
α	296	298	220	184	123	45	36	38	43	45

$U_{a1}=27 \text{ m/s}, w_a/w_f=7$ ($w_a=6.3 \text{ g/s}$, $w_f=0.89 \text{ g/s}$)

Run	1	2	3	4	5	6	7	8	9	10
t_f	19	19	19	19	19	19	19	19	19	19
t_1	24	24	24	24	24	24	24	24	24	24
t_2	12	12	16	17	23	20	28	33	35	48
t_3	14	15	19	20	28	24	28	32	34	62
t_4	31	29	—	—	—	—	—	—	—	—
t_5	29	30	48	67	128	112	163	202	231	284
t_6	31	33	55	76	145	124	178	225	254	318
t_7	33	34	62	83	158	134	188	241	271	342
t_8	34	34	67	83	163	136	189	247	274	345
t_w	32	33	58	77	148	126	179	229	257	322
t_b	18	18	20	21	24	22	26	29	30	36
w_{fd}	0.296	0.298	0.349	0.426	0.47	0.475	0.521	0.536	0.523	0.49
R_c	0.33	0.33	0.39	0.47	0.52	0.53	0.58	0.60	0.58	0.54
w_{fw}	0.114	0.097	0	0	0	0	0	0	0	0
R_c	0.13	0.11	0	0	0	0	0	0	0	0
w_{fv}	0.480	0.495	0.541	0.464	0.42	0.415	0.369	0.354	0.367	0.40
R_v	0.54	0.56	0.61	0.52	0.47	0.47	0.41	0.40	0.41	0.45
α	227	219	104	62	41	39	40	37	37	48

$U_{a1}=37 \text{ m/s}, w_a/w_f=4$ ($w_a=8.5 \text{ g/s}$, $w_f=2.1 \text{ g/s}$)

Run	1	2	3	4	5	6	7			
t_f	22	22	22	22	22	21	12			
t_1	23	25	25	25	25	25	25			
t_2	9	12	16	19	27	35	39			
t_3	9	12	17	20	24	28	33			
t_4	11	27	—	—	—	—	—			
t_5	13	33	80	123	193	252	296			
t_6	12	35	91	138	212	281	331			
t_7	11	37	100	150	227	301	356			
t_8	10	37	102	152	229	303	360			
t_w	12	35	93	141	215	284	336			
t_b	16	19	21	22	26	30	32			
w_{fd}	1.18	1.165	1.265	1.234	1.195	1.075	0.945			
R_c	0.56	0.55	0.60	0.59	0.57	0.51	0.45			
w_{fw}	0.104	0.03	0	0	0	0	0			
R_c	0.05	0.01	0	0	0	0	0			
w_{fv}	0.816	0.905	0.835	0.866	0.905	1.025	1.155			
R_v	0.39	0.43	0.40	0.41	0.43	0.49	0.55			
α	—	238	73	61	61	66	67			

$U_{a1}=37 \text{ m/s}$, $w_a/w_f=7$ ($w_a=8.5 \text{ g/s}$, $w_f=1.2 \text{ g/s}$)

Run	1	2	3	4	5	6	7	8	9	10
t_f	20	20	21	20	21	21	21	21	21	21
t_1	23	23	28	24	25	28	25	28	28	28
t_2	7	10	18	14	23	32	37	43	47	48
t_3	8	12	19	18	22	27	29	33	34	37
t_4	8	—	—	—	—	—	—	—	—	—
t_5	10	30	77	82	123	151	201	224	253	287
t_6	9	34	83	92	137	173	223	248	283	322
t_7	9	36	87	101	148	185	239	263	303	345
t_8	8	37	84	102	151	185	240	256	301	350
t_w	9	34	83	94	140	173	226	248	285	326
t_b	15	17	23	19	24	30	31	36	38	38
w_{fd}	0.652	0.646	0.674	0.676	0.662	0.616	0.616	0.577	0.568	0.513
R_c	0.54	0.54	0.56	0.56	0.55	0.51	0.51	0.48	0.47	0.43
w_{fw}	0.085	0	0	0	0	0	0	0	0	0
R_c	0.07	0	0	0	0	0	0	0	0	0
w_{fv}	0.463	0.554	0.526	0.524	0.538	0.584	0.584	0.623	0.632	0.687
R_v	0.39	0.46	0.44	0.44	0.45	0.49	0.49	0.52	0.53	60.57
α	—	42	34	26	48	62	62	66	64	59

$U_{a1}=45 \text{ m/s}$, $w_a/w_f=4$ ($w_a=10.4 \text{ g/s}$, $w_f=2.6 \text{ g/s}$)

Run	1	2	3	4	5	6	7			
t_f	24	24	24	24	24	24	24			
t_1	24	25	28	29	29	28	28			
t_2	9	10	14	17	18	20	23			
t_3	9	11	14	18	20	23	25			
t_4	10	15	—	—	—	—	—			
t_5	14	27	57	106	145	191	247			
t_6	13	26	60	110	152	199	255			
t_7	13	26	63	114	157	207	266			
t_8	13	24	61	110	150	195	252			
t_w	13	26	60	110	151	198	255			
t_b	17	18	21	23	24	24	26			
w_{fd}	1.52	1.50	1.49	1.33	1.22	1.19	1.07			
R_c	0.58	0.58	0.57	0.51	1.47	0.46	0.41			
w_{fw}	0.120	0.036	0	0	0	0	0			
R_c	0.05	0.01	0	0	0	0	0			
w_{fv}	0.96	1.064	1.11	1.22	1.38	1.41	1.53			
R_v	0.37	0.41	0.43	0.49	0.53	0.54	0.59			
α	—	265	605	83	72	65	63			

$U_{a1}=45 \text{ m/s}$, $w_a/w_f=7$ ($w_a=10.4 \text{ g/s}$, $w_f=1.49 \text{ g/s}$)

Run	1	2	3	4	5	6	7	8		
t_f	22	22	22	22	22	22	22	22		
t_1	26	27	27	27	27	25	25	25		
t_3	10	12	14	16	17	23	30	35		
t_5	10	10	13	17	18	23	27	29		
t_4	14	—	—	—	—	—	—	—		
t_6	15	25	58	100	131	170	233	256		
t_8	15	26	60	103	131	177	233	269		
t_7	15	27	62	109	142	184	243	278		
t_9	15	25	59	103	137	176	231	264		
t_w	15	26	60	104	137	177	235	267		
t_b	18	20	21	22	22	24	28	30		
w_{fd}	0.822	0.822	0.788	0.752	0.700	0.630	0.549	0.497		
R_c	0.55	0.55	0.53	0.51	0.47	0.43	0.37	0.37		
w_{fw}	0.067	0	0	0	0	0	0	0		
R_v	0.04	0	0	0	0	0	0	0		
w_{fv}	0.668	0.668	0.702	0.738	0.790	0.860	0.941	0.993		
R_w	0.45	0.45	0.47	0.50	0.53	0.58	0.63	0.67		
α	613	—	26	33	33	57	65	70		

TM-182	排気系障害板の模型実験	1970年9月	田辺義一
TM-183	ロケット模型の大型低速風洞試験	1970年9月	近藤洋史, 高橋 宏 桑野尚明
TM-184	金属線へ衝突する液滴の現象	1970年9月	田丸 卓, 乙幡安雄
TM-185	推進エンジン用空気取入口の予備実験	1970年9月	近藤 博, 石賀保正
TM-186	NAL-25・31型ロケットの試作と飛しょ う試験	1970年11月	宇宙研究グループ
TM-187	推力 300kg ジンバル液体ロケットエン ジンの揺動特性 (I)	1970年11月	樽崎哲二, 中野富雄 橋本亮平, 竹花真一郎
TM-188	自由飛行模型 FFM-10 の空力微係数に およぼす機体弹性変形の影響について	1970年11月	河崎俊夫, 河本 嶽 戸田 効

注: 欠番は配布先を限定したもの

航空宇宙技術研究所資料189号

昭和45年12月発行

発行所 航空宇宙技術研究所
東京都調布市深大寺町1880
電話武藏野三鷹(0422)44-9171(代表)182

印刷所 株式会社 東京プレス
東京都板橋区桜川2~27~12
